



Vorlesung "Allgemeine Meteorologie"

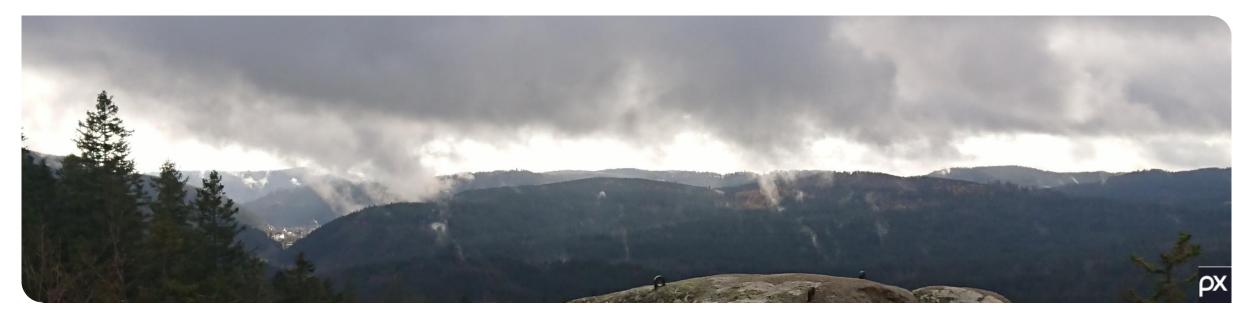
Prof. Michael Kunz



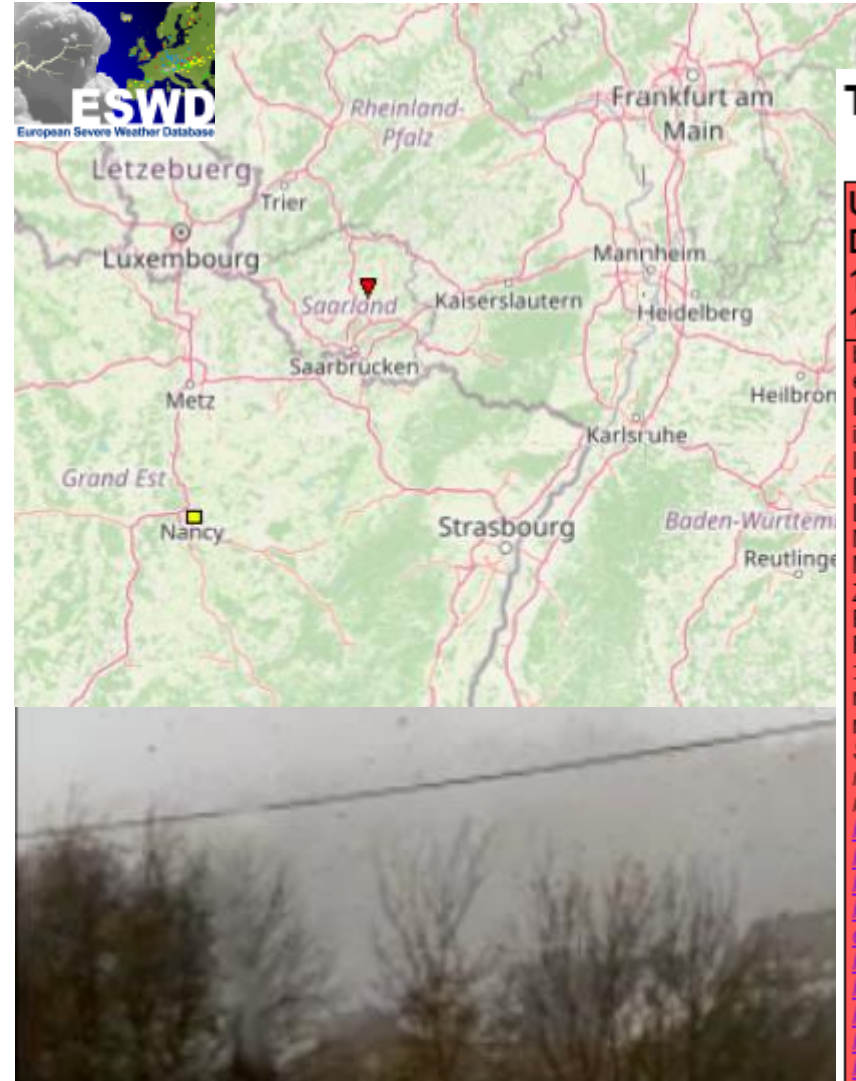




Das Wetter...



Vergangenes Wetter: Tornado



17.11.2022, Urexweiler, Saarland

Tornado (Wind-/Wasserhose/Großtrombe)

Urexweiler

Deutschland (49.43 N,7.08 E) < 3 km

17-11-2022 (Donnerstag)

13:45 UTC (+/- 5 min)

basiert auf: Informationen in: Foto(s) oder Video(s) der Schäden, einer Website, Foto(s) oder Video(s) des Ereignisses, einem Z eitungsbericht

Landnutzung: Land

intensität: F2 T4

Intensitätsschätzung basiert auf Foto(s) oder Video(s) der Schäden.

Die Trichterwolke wurde beobachtet.

Länge der Schadenspur: 10.9 km

Mittlere Breite der Schadenspur: 150 m

Reutlinge Maximale Breite der Schadenspur: 370 m.

Zugrichtung: WSW-ENE

Pfad Anfang von/bei (49.41 N, 7.00 E)

Pfad Ende in/bei (49.44 N, 7.15 E)

: Road(s) impassable or closed, Power transmission damaged or destroyed, Damage to roof or chimney, Roof(s) destroyed, Damage to window(s) or insulation layer(s), Car(s) dented, Car window(s) or windshield(s) broken, Large tree branch(es) broken, Tree(s) uprooted or snapped. Forest(s) damaged or destroyed

Schäden an Gebäuden, Infrastruktur und Vegetation Durchzug von Gewitter // Heavy damage in Dirmingen, Urexweiler and Remmesweiler. Roofs heavily damaged; forest areas destroyed. More information will follow. Path data and intensity rating prelimi

https://tornadoliste.de/read:8787

<u>tps://www.tornadomap.org/post/vurexweiler22/</u>

tps://twitter.com/tornadomap_org/status/1593621465030533120

ttps://www.saarbruecker-zeitung.de/saarland/st-wendel/saarland-tornado-verursacht-schaeden-und-sorgt-fuer-abgedeckte-dae her ald-80095229

ps://blaulichtreport-saarland.de/2022/11/weiteres-unheimliches-video-vom-tornado-in-urexweiler-aufgetaucht1/

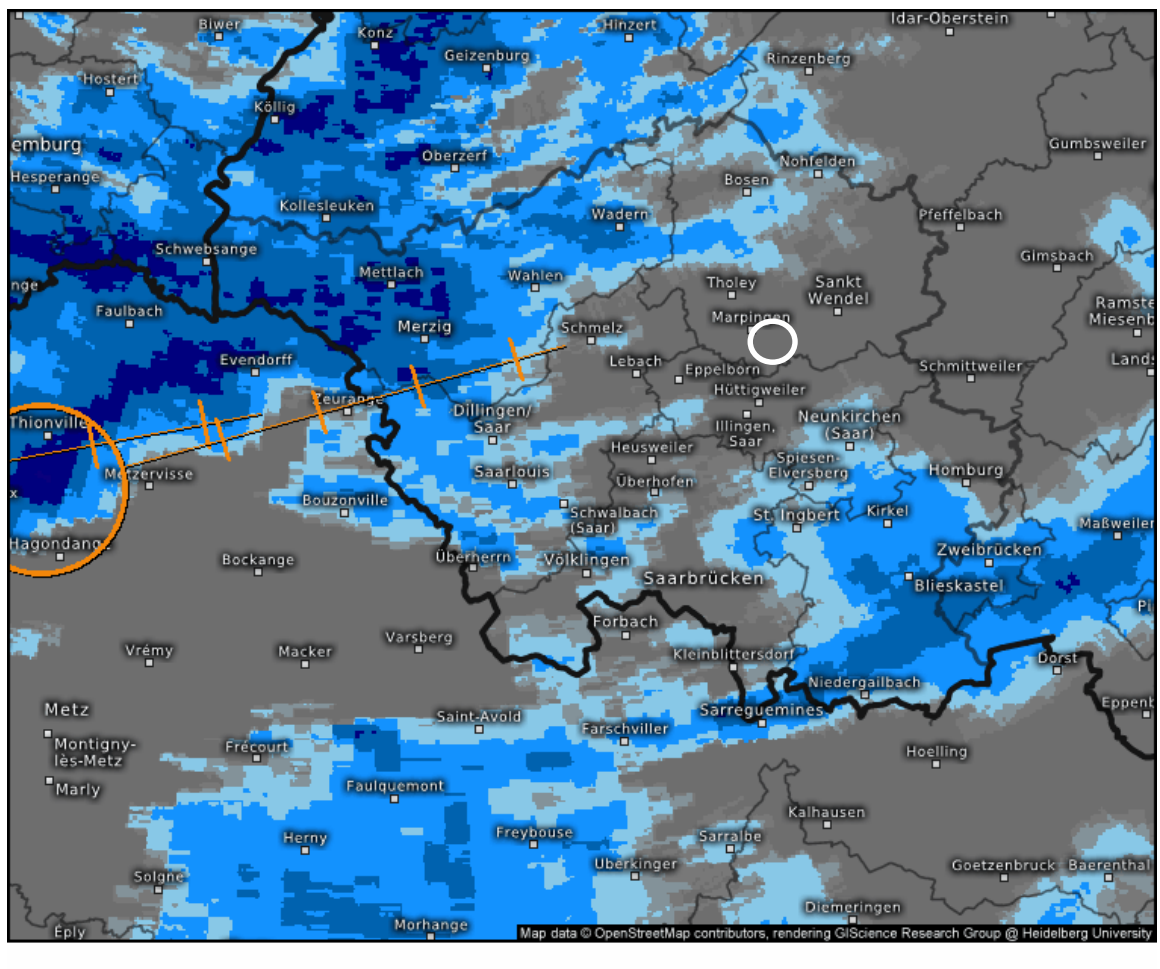
os://blaulichtreport-saarland.de/2022/11/hier-fegt-der-tornado-durch-das-saarland-augenzeugenvideo-aufgetaucht1

ps://kachelmannwetter.com/de/dopplersweeps/neuheilenbach-sued/radar-05grad/20221117-1330z.html

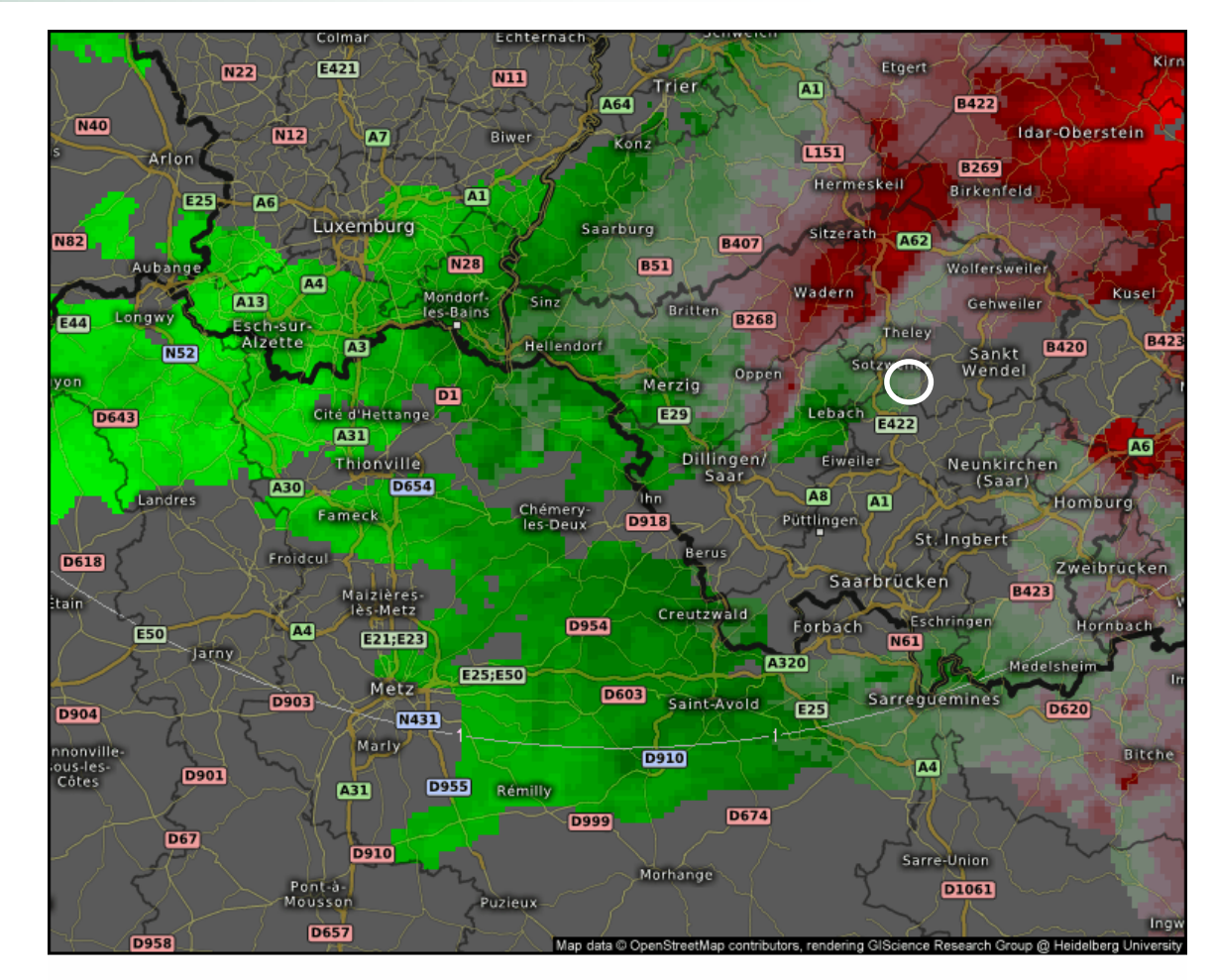
: Kachelmannwetter.com; "Tornado sorgt in Teilen des Saarlandes für abgedeckte Dächer und umgefallene Bäume" v. Saarbrüc kener Zeitung, 17 Nov 2022; Blaulichtreport Saarland, 17 Nov 2022; tornadoliste.de, 17 Nov 2022; "Weiteres unheimliches Vide o vom Tornado in Urexweiler aufgetaucht", BLAULICHTREPORT-SAARLAND, 17 NOV 2022; @tornadomap_org (v. Twitter), 18 Nov 2022; Detailed report v. www.tornadomap.rg, 20 Nov 2022;

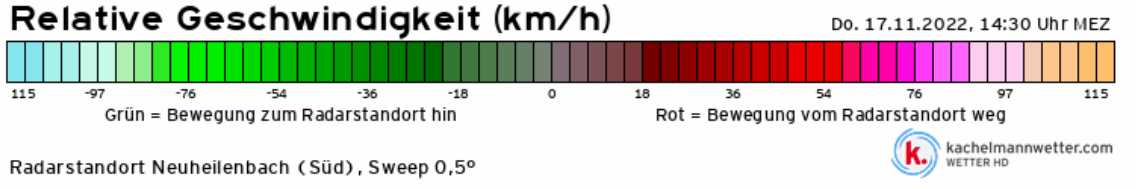


Vergangenes Wetter: Tornado



Radar-VorhersageHD / Stormtracking Do. 17.11.2022, 13:40 Uhr MEZ Rotation der Zelle Zugrichtung >>> Zugrichtung >>> Zugrichtung >>> 🚱 mäβig 🚱 stark 🚱 sehr stark yklonal antizyklonal 10 20 30 40min kachelmannwetter.com Saarland

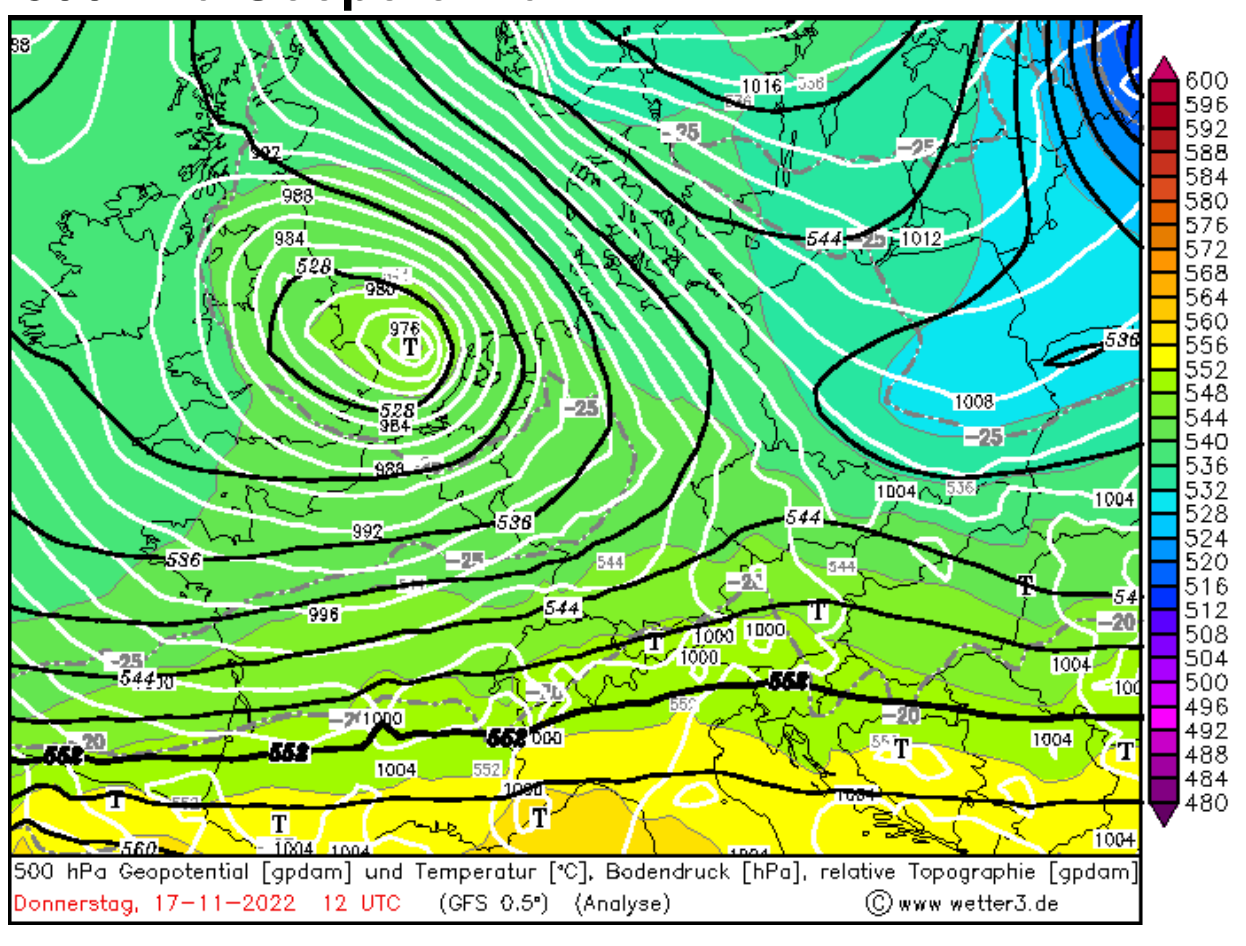




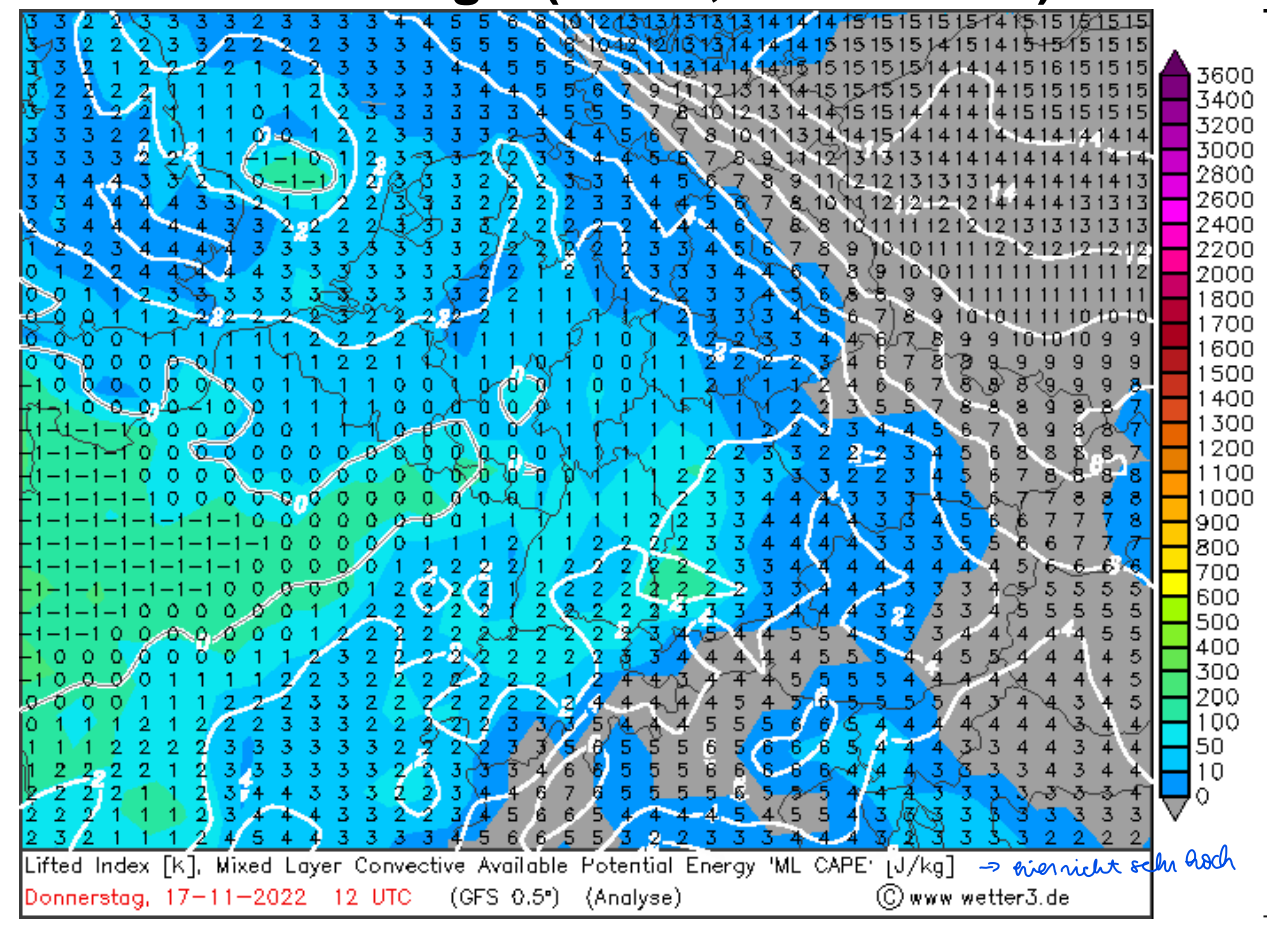


Vergangenes Wetter: Tornado

500 hPa Geopotential



Konvektionsenergie (CAPE, Lifted Index)



Definition

- Tornado: rotierende Windgeschwindigkeiten am Boden > 105 (EF0) bis > 500 km h⁻¹
- Nicht unbedingt mit sichtbarem funnel (Wolkenschlauch);
- Auftreten in Verbindung mit Superzellen EF0-EF5 oder Gewitterlinien EF0-EF2
- Durchmesser: 50 -1500 m
- Lebensdauer: Sek. bis ½ Stunde

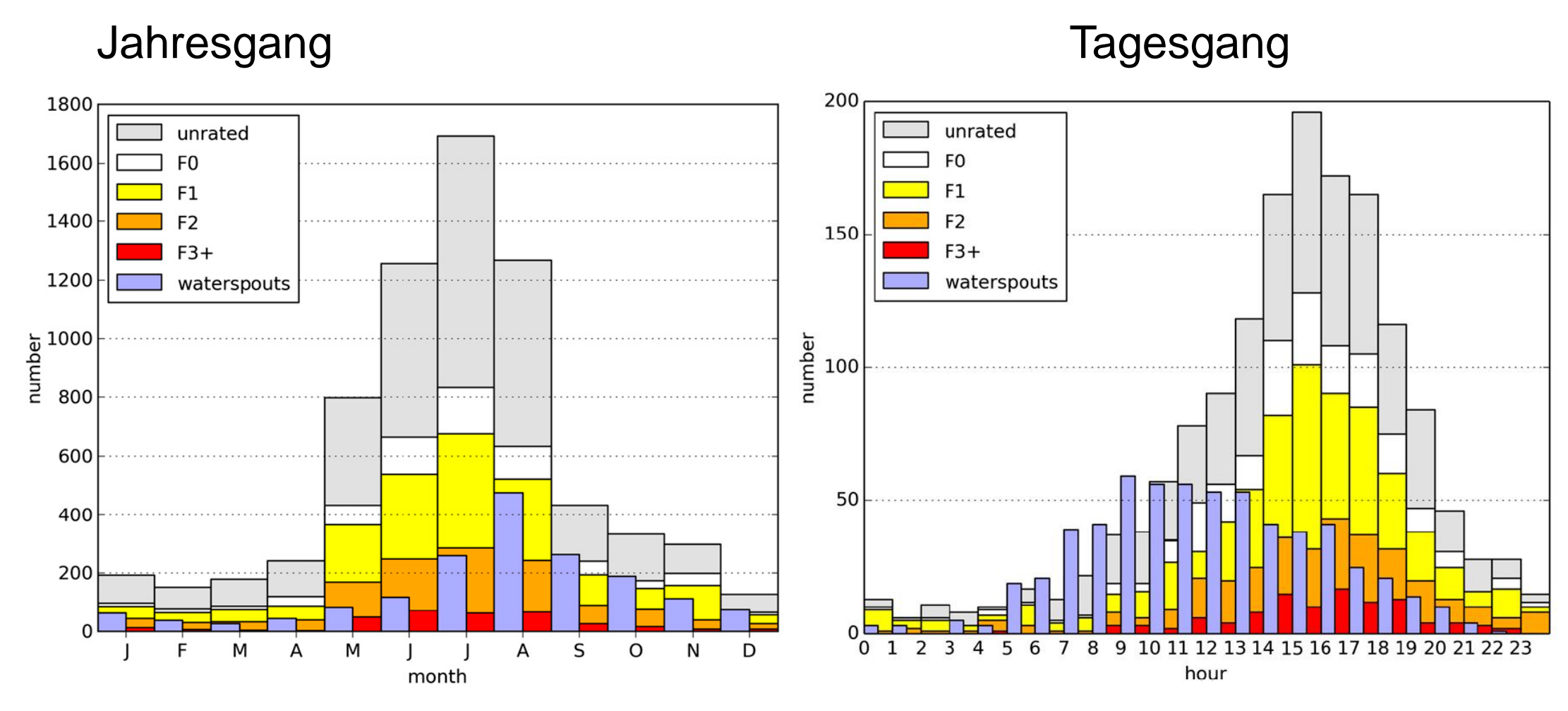






Fornado

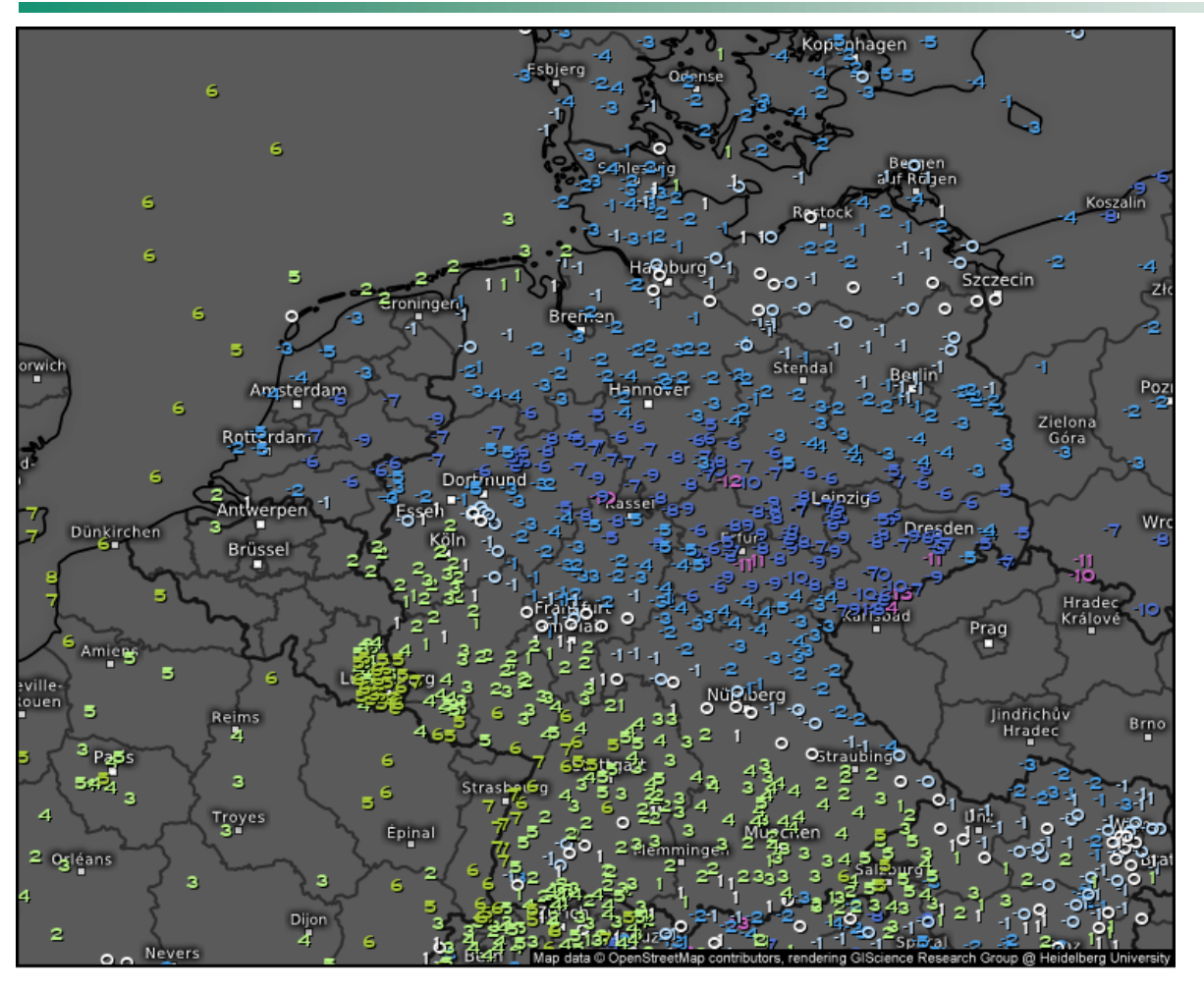
Häufigkeiten Tornados Europa

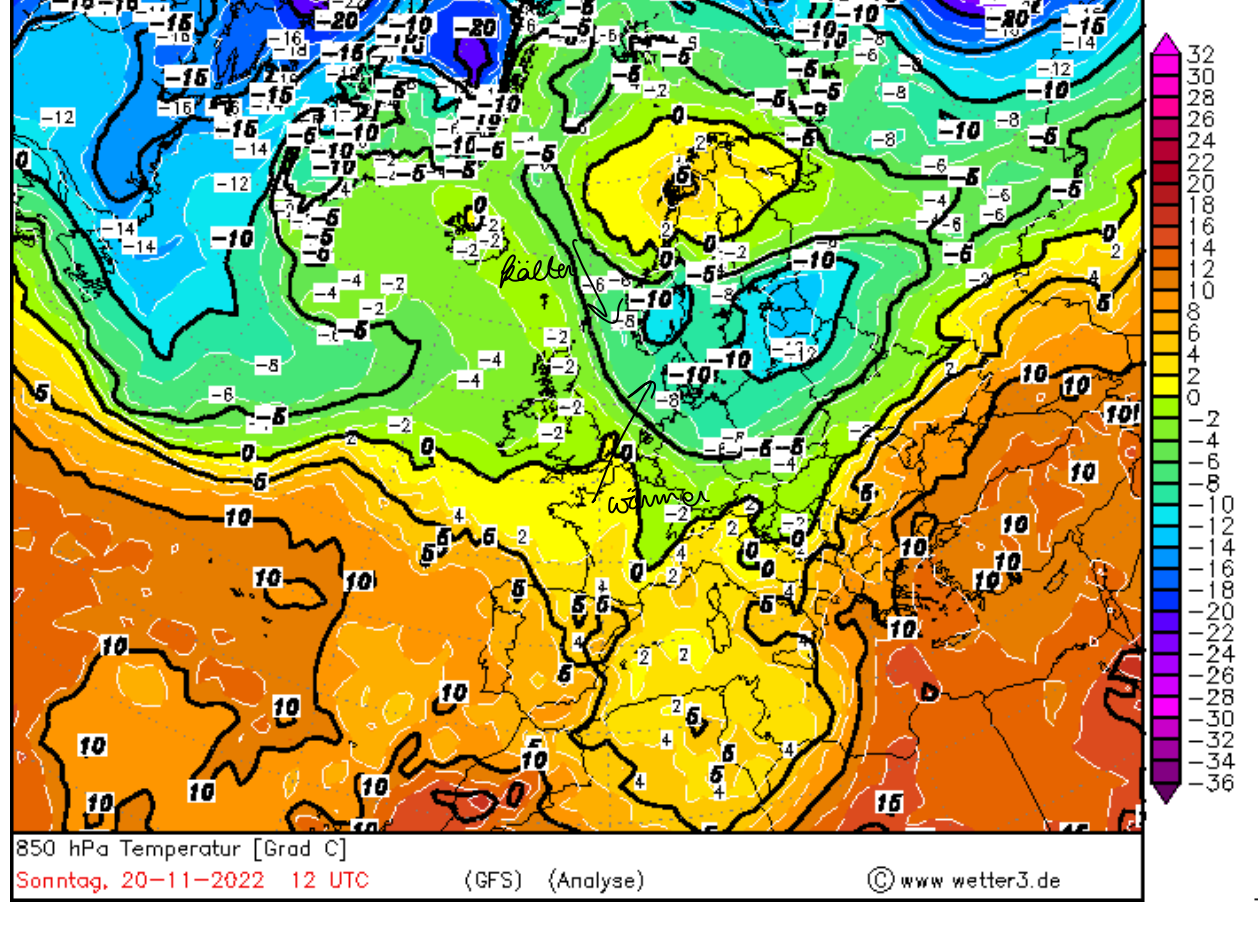


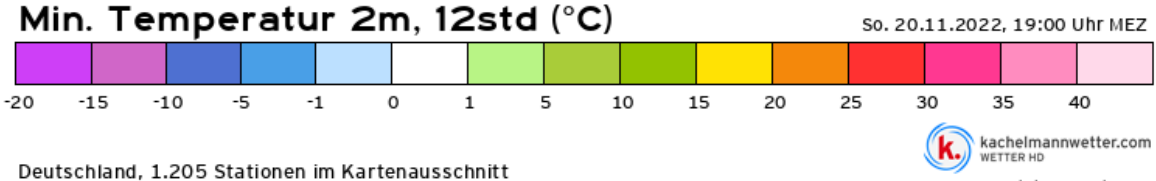
(Groenemeijer und Kühne, MWR, 2014)



Wetter aktuell



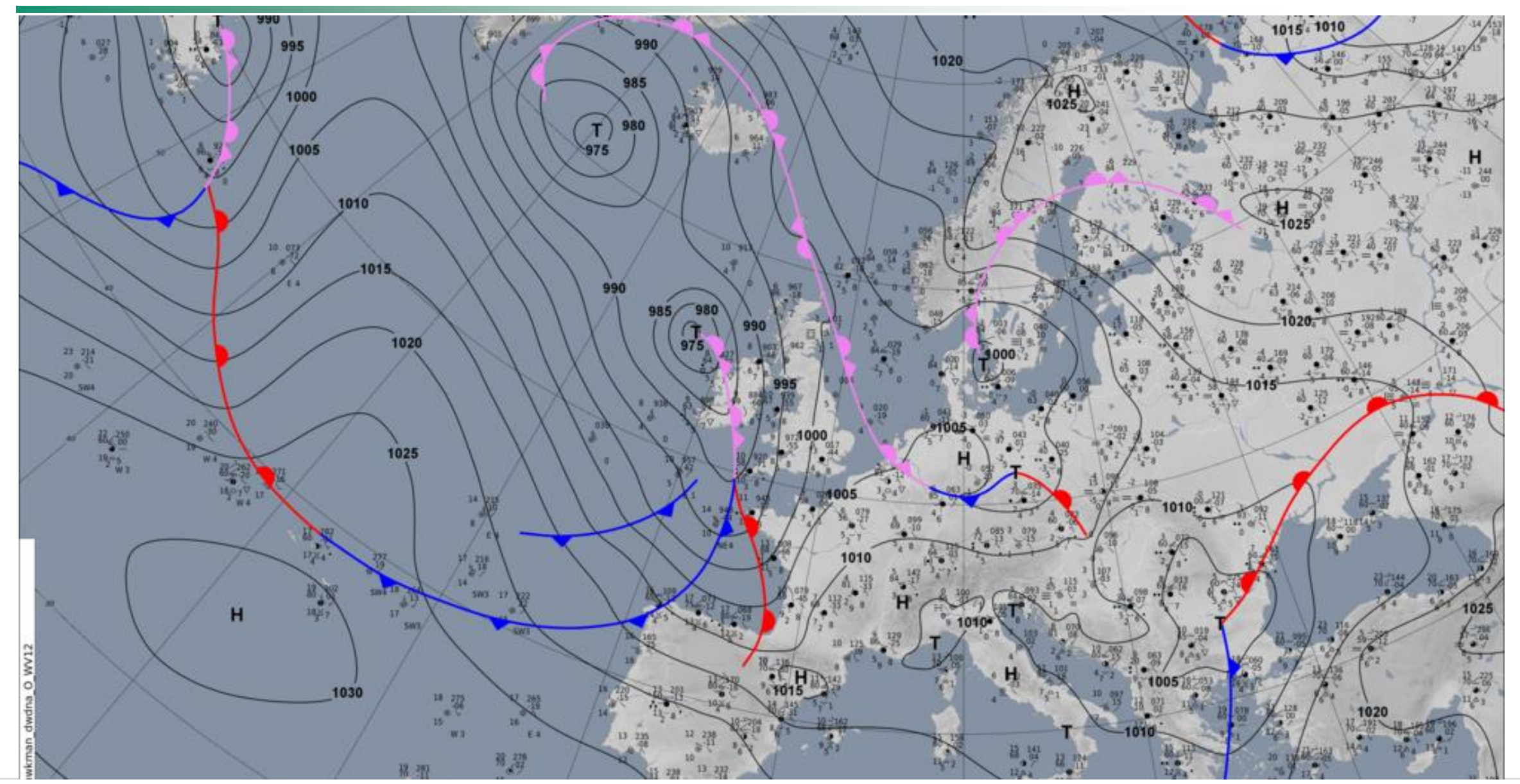




(c) Kachelmann GmbH, DWD



Bodenwetterkarte

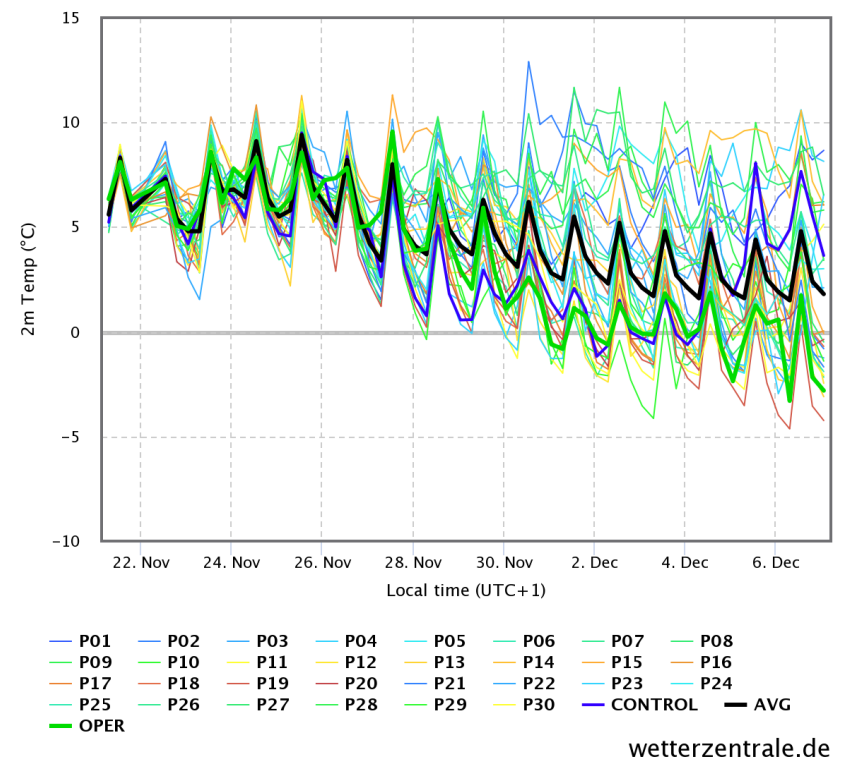


Vorhersage: Ensembles

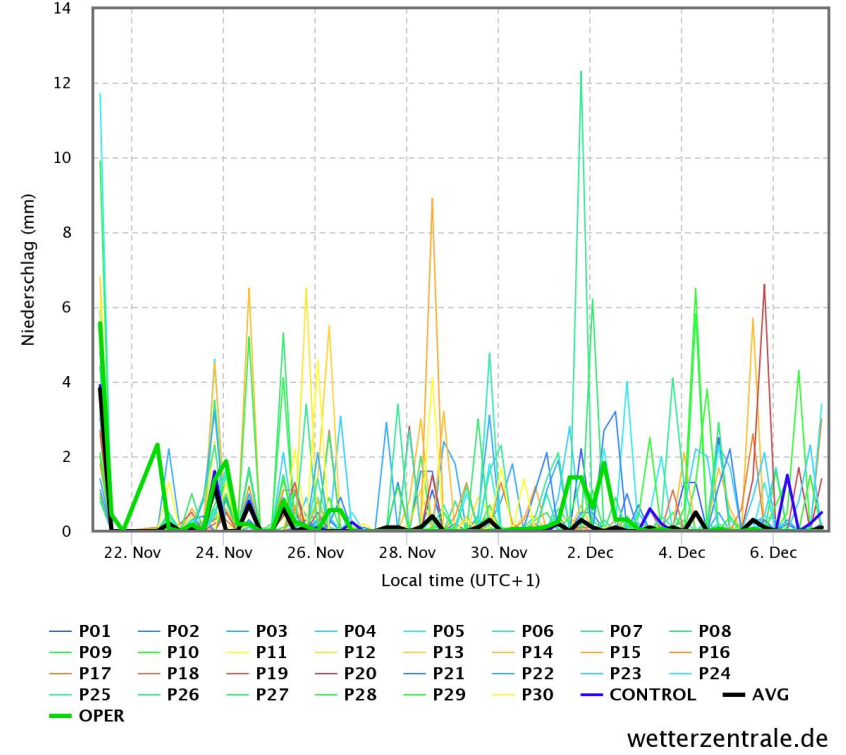


- Modell GFS (Global Forecast System) des amerik. Wetterdienstes NOAA
- 30 Ensemble Läufe
- Gitterpunkt Karlsruhe

T 2m



Niederschlag



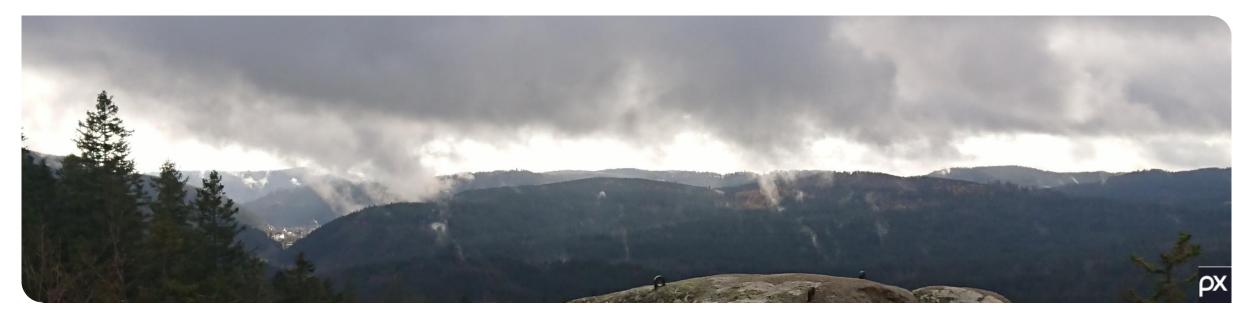




Vorlesung "Allgemeine Meteorologie"

Prof. Michael Kunz

Kapitel 4: Vertikaler Aufbau der Atmosphäre



Letzte Vorlesung...

Mesosphäre: Abnahme Temperatur bis ca. 80

km; im Sommer kälter als im Winter

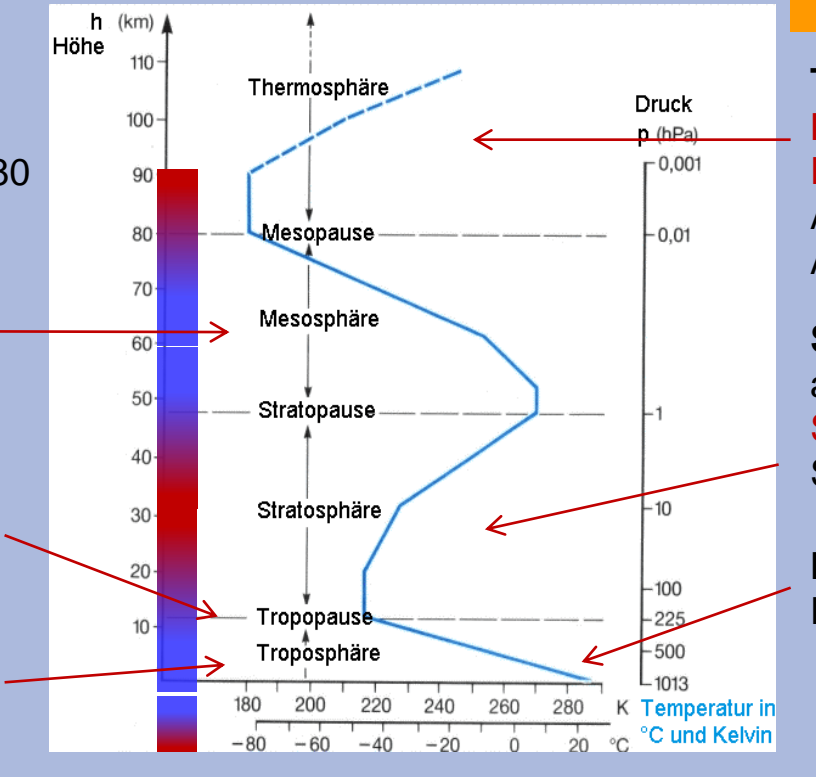
(Dynamik: Zirkulation vom Sommer- zum Winterpol, Hebung über Sommerpol);

Mesopause: Leuchtende Nachtwolken

Tropopause: konstante Temperatur oder geringe Zu/Abnahme; Höhe abhängig von Temperatur

Troposphäre: Wettersysteme; Temperatur-

abnahme mit der Höhe

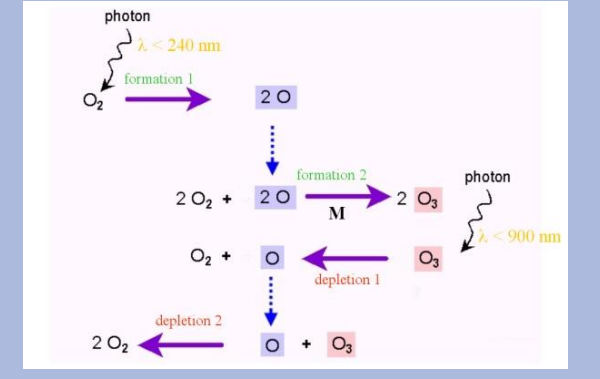


...Wiederholung Wiederholung

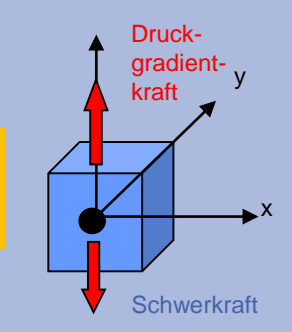
Thermosphäre: Temperatur-zunahme bis ~ 1000 K; Temperaturdefinition schwierig Polarlichter (Aurora Borealis und Aurora Australis), Entmischung (Ende Homosphäre; Abnahme molare Masse)

Stratosphäre: Temperatur-zunahme bis 60 km auf ~0°C; bestimmt v.a. durch Ozonchemie; **Stratosphärenwirbel** kann Einfluss haben auf Strömung in Troposphäre (v.a. SSW)

Planetare Grenzschicht: Ekman-Schicht, Prandtl-Schicht, Laminare Unterschicht



- Stratosphäre: Chapman-Zyklus Entstehung + Abbau Ozon; Abbau durch freie Radikale (Cl) wenn an PSC aktiviert (nierige Temp.!)
- Hydrostatisch: Gleichgewicht zwischen Schwerkraft und (vertikale) Druckgradientkraft



agenda

4.1 Aufbau der Atmosphäre

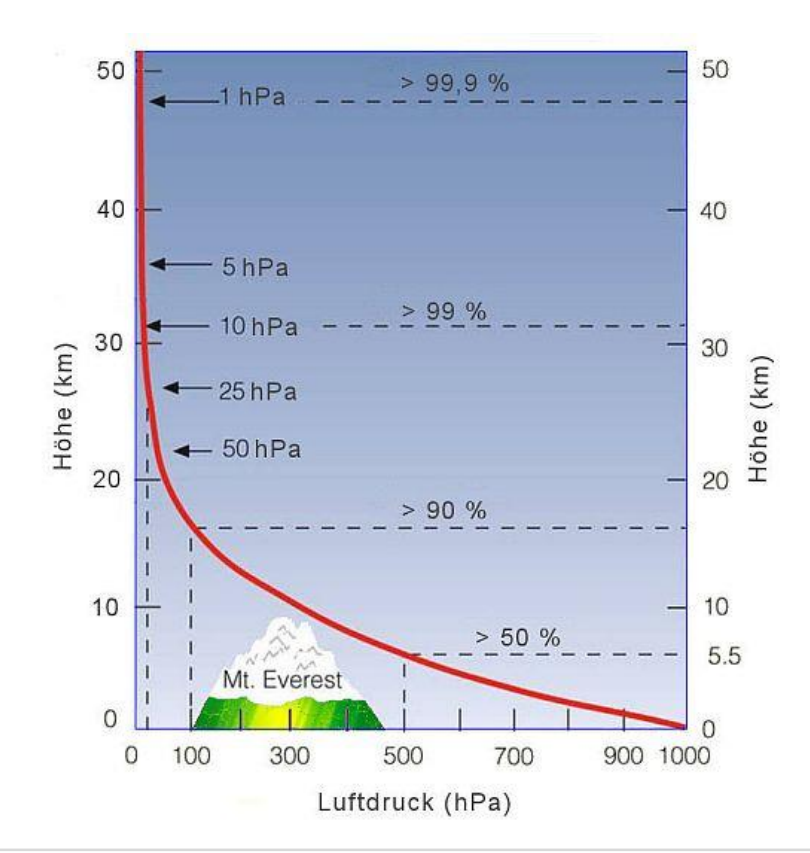
- 4.1.1 Troposphäre
- 4.1.2 Stratosphäre
- 4.1.3 Mesosphäre
- 4.1.4 Thermosphäre
- 4.2 Hydrostatische Approximation
- 4.3 Modellatmosphären
 - 4.3.1 Homogene Atmosphäre
 - 4.3.2 Isotherme Atmosphäre & Barometrische Höhenformel
 - 4.3.3 Polytrope Atmosphäre

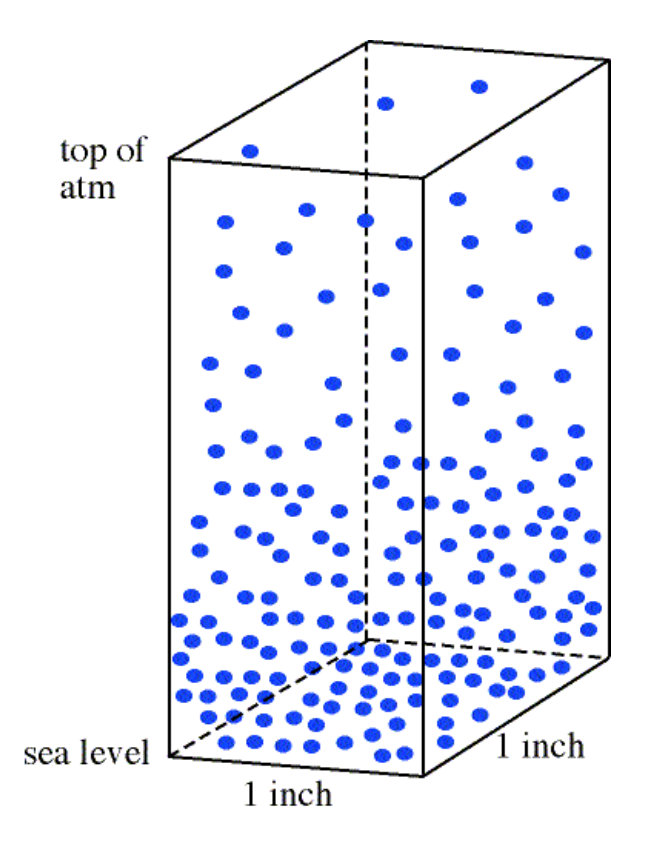


4.3 Modellatmosphären

Verlauf Luftdruck in der realen Atmosphäre

- **Luftdruck:** Gewichtskraft der Atmosphäre oberhalb von z
- Auf Meereshöhe ca. 10⁵ Pa ~ 10⁴ kg (Normalbedingungen: 1013.25 hPa, 0°C)
- Exponentielle Druckabnahme mit der Höhe wg. Kompressibilität von Luft 🖙 ﷺ





4.3 Modellatmosphären

Modellatmosphären

$$\frac{\partial p}{\partial z} = -\rho g$$

hydrostatische **Approximation**

$$p = \rho R_L T$$

Zustandsgleichung für ein ideales Gas

- (a) Homogene Atmosphäre (isochor; $\rho = \text{const.}$)
- (b) Isotherme Atmosphäre (T = const.)
- (c) Polytrope Atmosphäre (Temp-Abnahme $\frac{\partial T}{\partial z}$ = const.)

- p: Druck
- z: Höhe
- ρ: Dichte
- g: Schwerebeschl.
- T: Temperatur
- R_I: Gaskonstante für Luft (trocken)

4.3.1 Homogene Atmosphäre

Homogene Atmosphäre:

$$\rho = const.$$

Herleitung über hydrostatische Approximation (substantiell)

Annahme: p nun von Zalin.

$$\frac{dp'}{dz'} = -\rho g = const. \tag{1}$$

$$\Leftrightarrow dp' = -\rho g dz' \tag{2}$$

$$\Rightarrow \int_{p_o}^p dp' = -\rho g \int_{z=0}^z dz' \tag{3}$$

$$\Rightarrow [p]_{p_0}^p = p - p_0 = -\rho g[z]_{z=0}^z = -\rho gz \tag{4}$$

$$p(z) = p_0 - \rho g z$$

- Lineare Druckabnahme mit der Höhe in der homogenen Atmosphäre
 - z.B. für einfache Abschätzung Druckänderung in untere Höhen; Faustformel: ~ 1 hPa / 9 m
- Homogene Atmosphäre hat eine Obergrenze (Auflösung von Gleichung (4) nach z, p=0 ergibt mit typischen Werten $H \sim 8$ km) → Übung

Fragen über Fragen...

- In welcher Luftmasse nimmt der Druck mit der Höhe schneller ab: in warmer oder in kalter Luft?
- Was passiert dynamisch, wenn warme Luft horizontal an kalte
- 10 Land tagriller schneller warm (3-> L), nochts Warger schneller varm (L->5) Wodurch kommt die Land-Seewind Zirkulation zustande?
 - Und wodurch der Jetstream (Starkwindband im Bereich der Tropopause)?
- Prinzipiell befinden sich kalte Luftmassen im Norden, warme Luftmassen im Süden. Wieso kommt es nicht zum Temperaturausgleich durch direkte Strömung?

Coribiskraft



andio

Isotherme Atmosphäre:

$$T = const.$$

Herleitung über hydrostatische Approx. und Zustandsgleichung

hydrost. Approx.
$$dp' = -\rho g dz'$$
 (keine Integration mögl. da $\rho(z)$) (1)

Zustandsgleichung
$$p' = \rho R_L T \Leftrightarrow \rho = \frac{p'}{R_L T}$$
 (2)

(2) in (1)
$$dp' = -\frac{p'g}{R_LT}dz'$$

$$\Leftrightarrow \int_{p_0}^p \frac{dp'}{p'} = \int_{p_0}^p d\ln p' = -\frac{g}{R_L\overline{T}}\int_{z=0}^z dz'$$

$$\overline{T} \text{ Schichtmitteltemperatur}$$

$$\Leftrightarrow \ln p - \ln p_0 = \ln \frac{p}{p_0} = -\frac{gz}{R_L \overline{T}} \qquad \qquad \qquad \qquad \qquad \qquad \qquad \qquad \qquad \\ \ln a - \ln b = \ln \frac{a}{b}$$

Vertikaler Druckverlauf isotherme Atmosphäre

$$\Leftrightarrow p(z) = p_0 \exp\left(-\frac{gz}{R_L \overline{T}}\right)$$

$$a = e^x \Leftrightarrow \ln a = x$$

$$\Leftrightarrow \exp(\ln a) = a = e^x$$

$$\Leftrightarrow \exp(\ln a) = a = e^x$$

barometrische Höhenformel

$$z = \frac{R_L \overline{T}}{g} \ln \frac{p_0}{p(z)} \qquad \Delta z = \frac{R_L \overline{T}}{g} \ln \frac{p_1}{p_2}$$

 $p(z) = p_0 \exp\left(-\frac{gz}{R_L \overline{T}}\right)$

Isotherme Atmosphäre: T = const.

	$p(z)_{\overline{T}=288,15}$ K		() 0°C
Z	$P(z)_{\overline{T}=288,15} K$		$p(z)_{\overline{T}=273,15\ K}$
0	1000 hPa		1000 hPa
1000	890 hPa		882,4 hPa
2000	790 hPa		778,6 hPa
3000	700 hPa		687,1 hPa
4000	620 hPa		606,3 hPa
5000	550 hPa		534,9 hPa
6000	490 hPa		472,0 hPa
7000	430 hPa		416,5 hPa
8000	390 hPa		367,5 hPa
9000	340 hPa	Druckgradient (sp)	324,3 hPa
10000	300 hPa	Strönungen	286,1 hPa
11000	270 hPa	Stronungen	252,5 hPa
12000	240 hPa		222,8 hPa

$p(z) = p_0 \exp\left(-\frac{gz}{R_L \overline{T}}\right)$

Isotherme Atmosphäre:

T = const.

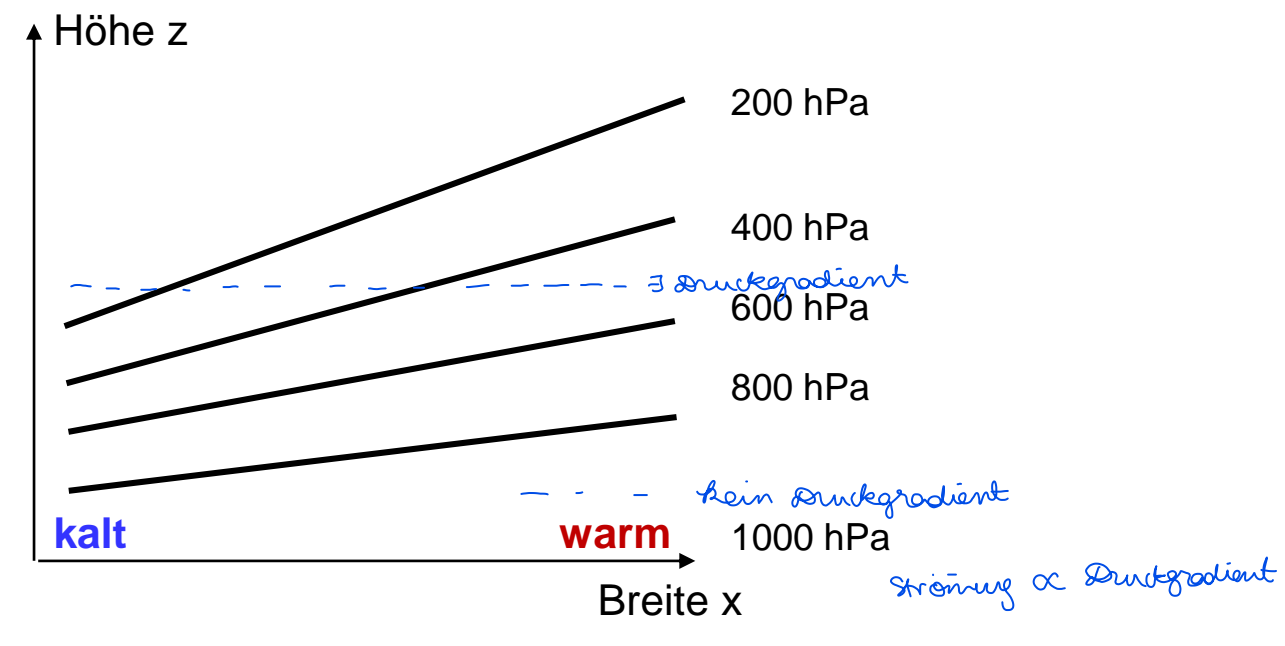
Bsp: Berechnung Höhendifferenz

$$\Delta z = \frac{R_L \overline{T}}{g} \ln \frac{p_1}{p_2}$$

$$p_1 = 1000 \, hPa$$

$$p_2 = 850 \, hPa$$

$$\Delta z = 4,7546 \cdot \overline{T} \, \text{m}$$

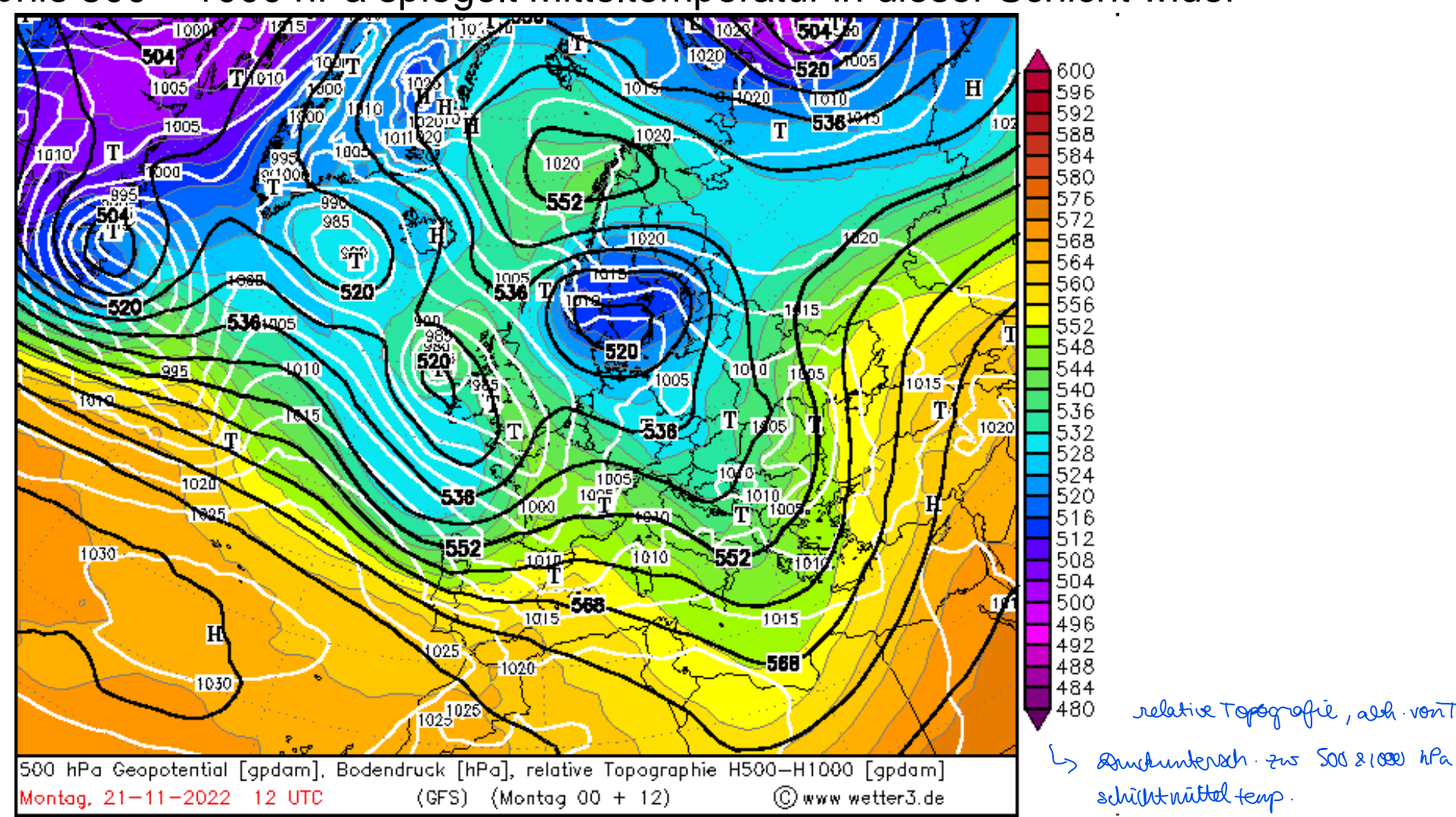


$$\Delta z = \begin{cases} 1370 \, m & \text{bei } \overline{T} = 288, 2 \, \text{K} & (\vartheta = 15^{\circ} C) \\ 1299 \, m & \text{bei } \overline{T} = 273, 2 \, \text{K} & (\vartheta = 0^{\circ} C) \end{cases}$$

→ je höher die Temperatur, umso größer ist der vertikale geometrische Abstand zweier Druckflächen



■ Relative Topographie 500 – 1000 hPa spiegelt Mitteltemperatur in dieser Schicht wider



relative topografie, ash vont

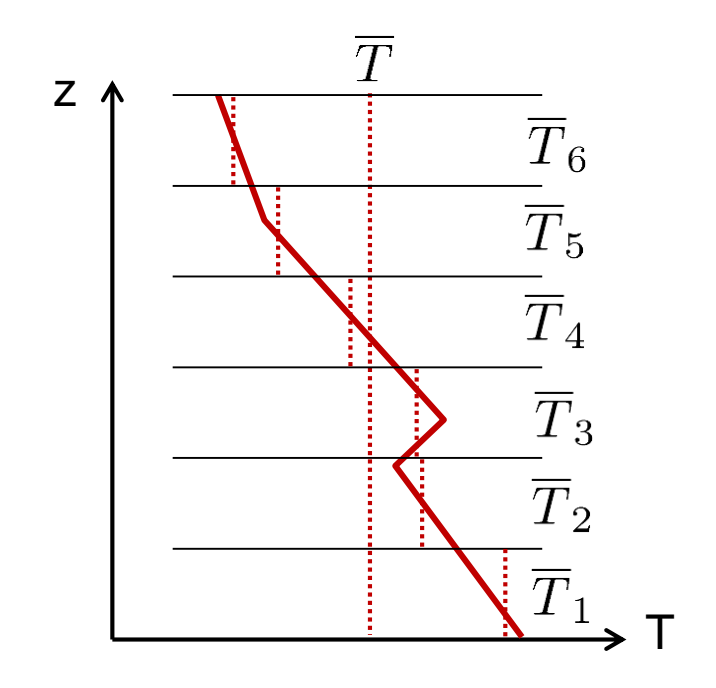
$\Delta z = \frac{R_L \overline{T}}{g} \ln \frac{p_1}{p_2}$

Isotherme Atmosphäre:

$$T = const.$$

- Barometerreduktion: Ergebnis isotherme Atmosphäre lässt sich auch für nicht-isotherme Verhältnisse anwenden, wenn für T der Mittelwert zwischen zwei Höhenniveaus ∆z verwendet wird
- Ergebnis wird immer genauer, je geringer die Schichtdicke zwischen den zwei Höhenniveaus

I unterteillen in einzelne doschnitte mit untersch. Integrationsgrangen z







Elvezeughthe auch donnit graduet bin

(rel- zu anderen Flugzgugen rächtig)



4.3.3 Polytrope Atmosphäre

Polytrope Atmosphäre: konstanter Temperaturgradient

- = 7
- Herleitung über hydrostatische Approx. und Zustandsgleichung
- Annahme: konstante lineare Temperaturannahme:

vertikalen temp gradient:
$$\frac{dT}{dz} = -\gamma = const. \qquad \Rightarrow \int_{T_0}^T dT = -\gamma \int_{z=0}^z dz \qquad \Rightarrow \underline{T(z)} = T_0 - \gamma z$$

hydrost. Approx.
$$dp = -\rho g dz$$
 (1)

Zustandsgleich.
$$p = \rho R_L (T_0 - \gamma z) \Leftrightarrow \rho = \frac{p}{R_L (T_0 - \gamma z)}$$
 (2)

(2) in (1)
$$\frac{dp}{p} = -\frac{g}{R_L(T_0 - \gamma z)}dz \tag{3}$$

Lösung des Integrals (3) (i) Integrationstafeln, z.B. Bronstein u. Semendjajew !

(ii) Erweiterung dz / Substituierung

Ansatz:
$$dz = -\frac{1}{\gamma} d(T_0 - \gamma z)$$

Differential Konstante = 0 $-d(\gamma z) = -\gamma dz$ mit [] ist rechte Seite = dz



4.3.3 Polytrope Atmosphäre

Polytrope Atmosphäre: konstanter Temperaturgradient

$$\frac{dp}{p} = -\frac{g}{R_L(T_0 - \gamma z)} dz \quad \text{und} \quad dz = -\frac{1}{\gamma} \underbrace{d(T_0 - \gamma z)}_{\sigma} - \gamma z$$

$$\int_{p_0}^p \frac{dp}{p} = \int_{p_0}^p d\ln p = \frac{g}{R_L \gamma} \int_{z=0}^z \frac{d(T_0 - \gamma z)}{T_0 - \gamma z} = \frac{g}{R_L \gamma} \int_{z=0}^z d\ln(T_0 - \gamma z)$$

$$\ln \frac{p}{p_0} = \frac{g}{R_L \gamma} \left\{ \ln(T_0 - \gamma z) - \ln T_0 \right\} \quad \text{(in Klammer: 1. Term in Höhe z, 2. Term in z = 0)}$$

$$= \frac{g}{R_L \gamma} \ln \frac{T_0 - \gamma z}{T_0} = \ln \left(\frac{T_0 - \gamma z}{T_0} \right)^{g/(\gamma R_L)} \quad a \ln b = \ln b^a$$

$$\Rightarrow p(z) = p_0 \left(\frac{T_0 - \gamma z}{T_0}\right)^{\frac{g}{R_L \gamma}}$$
 Vertikaler Druckverlauf Polytrope Atmosphäre



4.3.3 Polytrope Atmosphäre

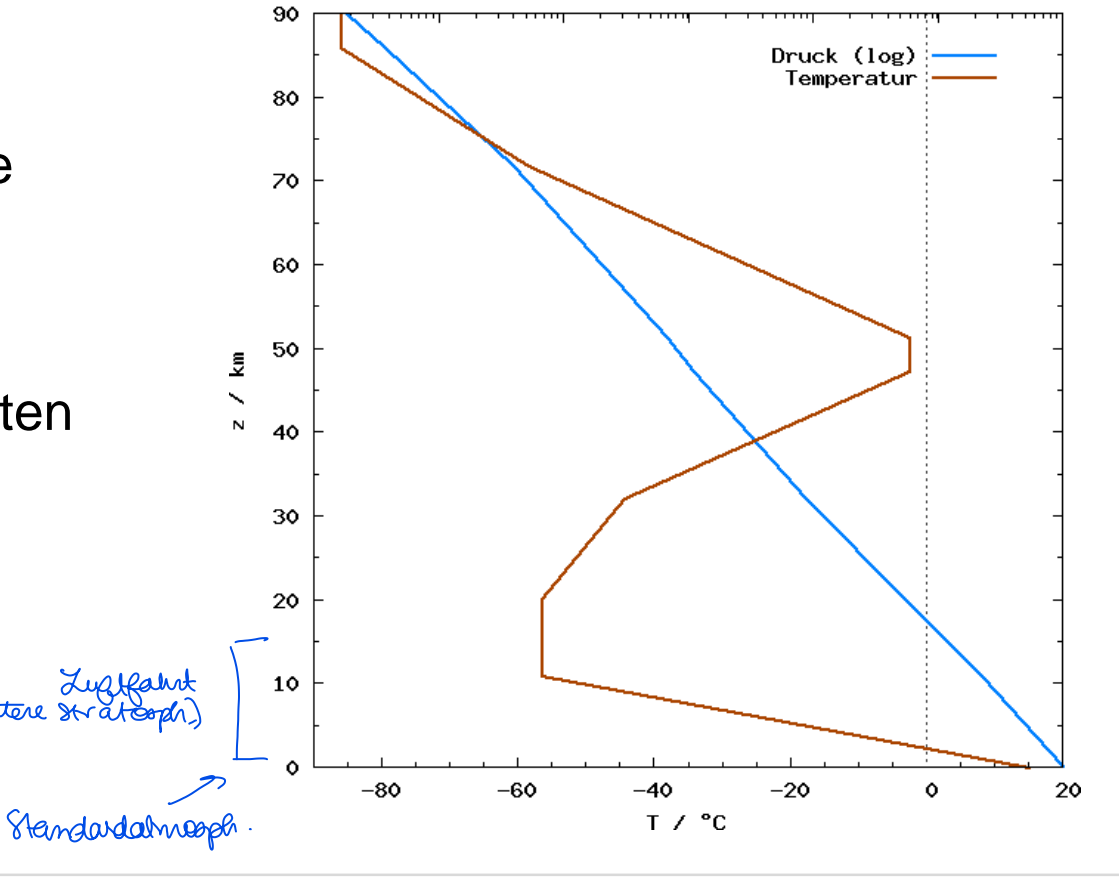
Normatmosphäre ICAO (International Civil Aviation Organization)

- Für die Luftfahrt allgemein gültige und verbindliche Normatmosphäre mit
 - $T_0 = 288,15 \text{ K } (15^{\circ}\text{C})$
 - $-p_0 = 1013,25 \text{ hPa}$
 - $-\rho_0$ = 1,225 km m⁻³
- Ermöglicht international einheitliche Bezugsgröße (z.B. für definierte Flughöhen); weicht von der aktuellen, lokalen Atmosphäre ab
- Konstanter Temperaturgradient in versch. Schichten

Troposphäre:

$$\frac{dT}{dz} = -0.65 \text{ K } 100 \text{ m}^{-1}$$

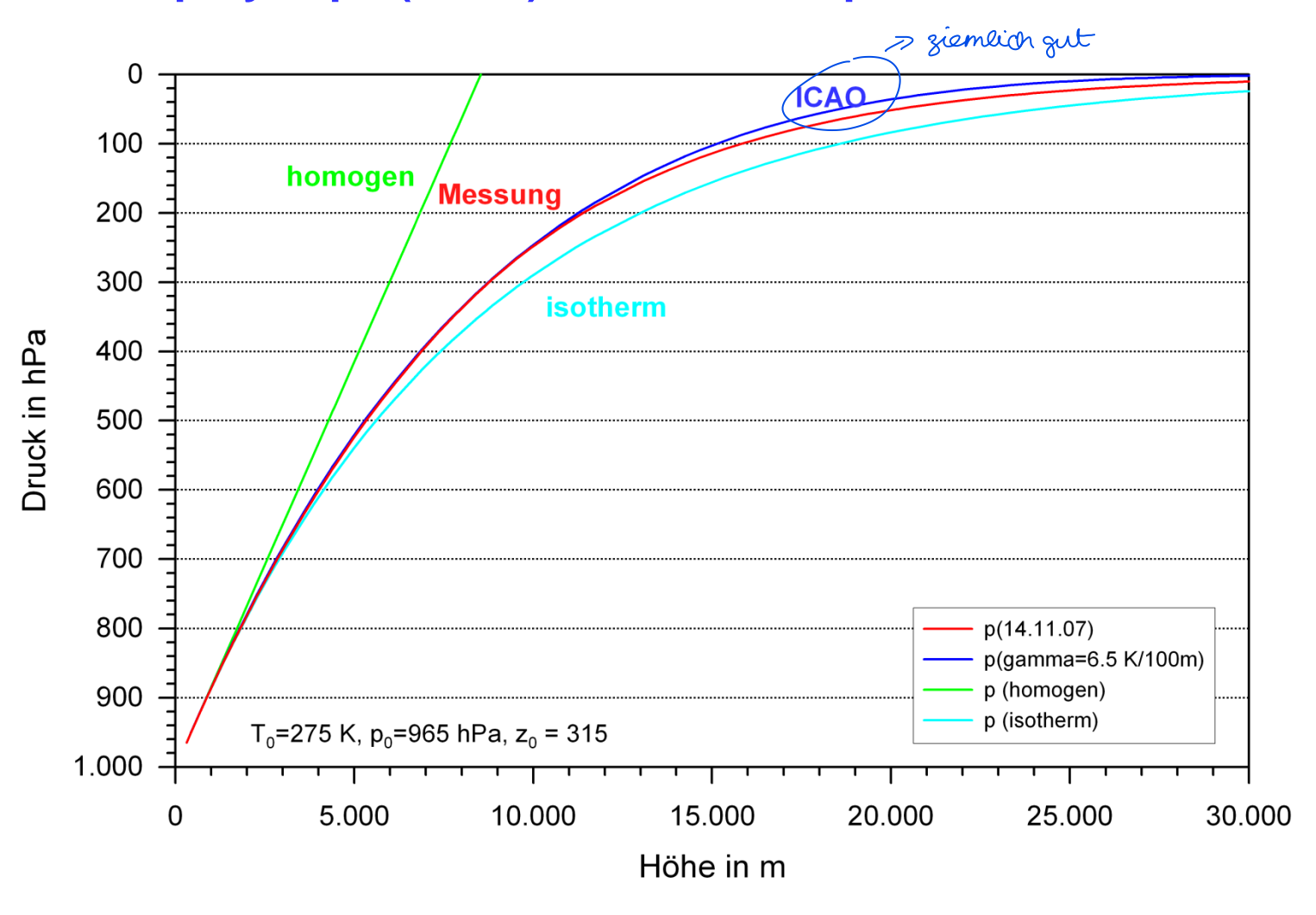
Pringing! nittlere temp gadient



lg P/Pa

4.3 Zusammenfassung

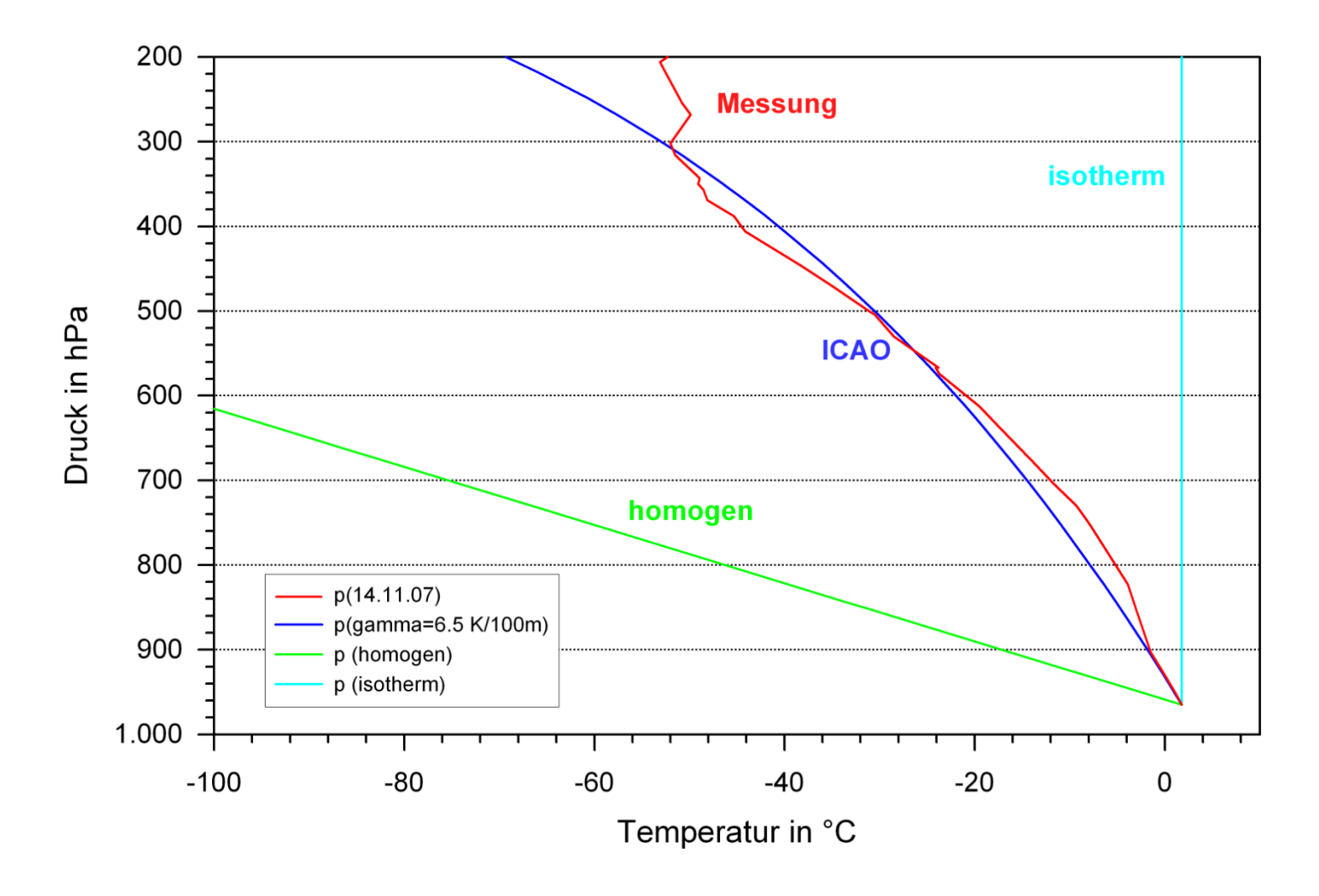
Homogene / isotherme / polytrope (ICAO) / reale Atmosphäre





4.3 Zusammenfassung

Homogene / isotherme / polytrope (ICAO) / reale Atmosphäre



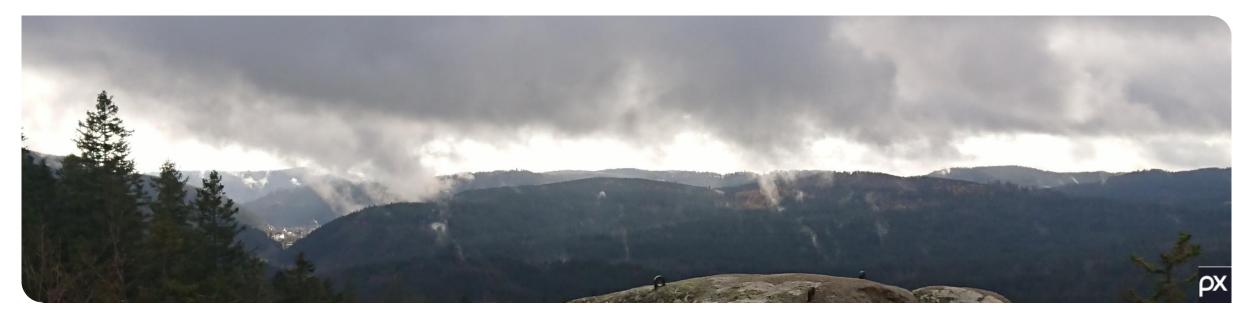




Vorlesung "Allgemeine Meteorologie"

Prof. Michael Kunz

Kapitel 5: Der Wasserdampf in der Atmosphäre



agenda

Der Wasserdampf in der Atmosphäre

- **5.1 Wasserdampf und Feuchtemaße**
- 5.2 Vertikale Verteilung des Wasserdampfs
- 5.3 Koexistenz von Flüssigkeit und Dampf
- 5.4 Koexistenz von Festkörper und Flüssigkeit
- 5.5 Koexistenz dreier Phasen
- 5.6 Reale Gase
- 5.7 Thermodynamische Phänomene, Kondensationsprozesse
 - 5.7.1 Dunst
 - 5.7.2 Nebel: Strahlungsnebel, Advektionsnebel
 - 5.7.3 Wolkenklassifikation

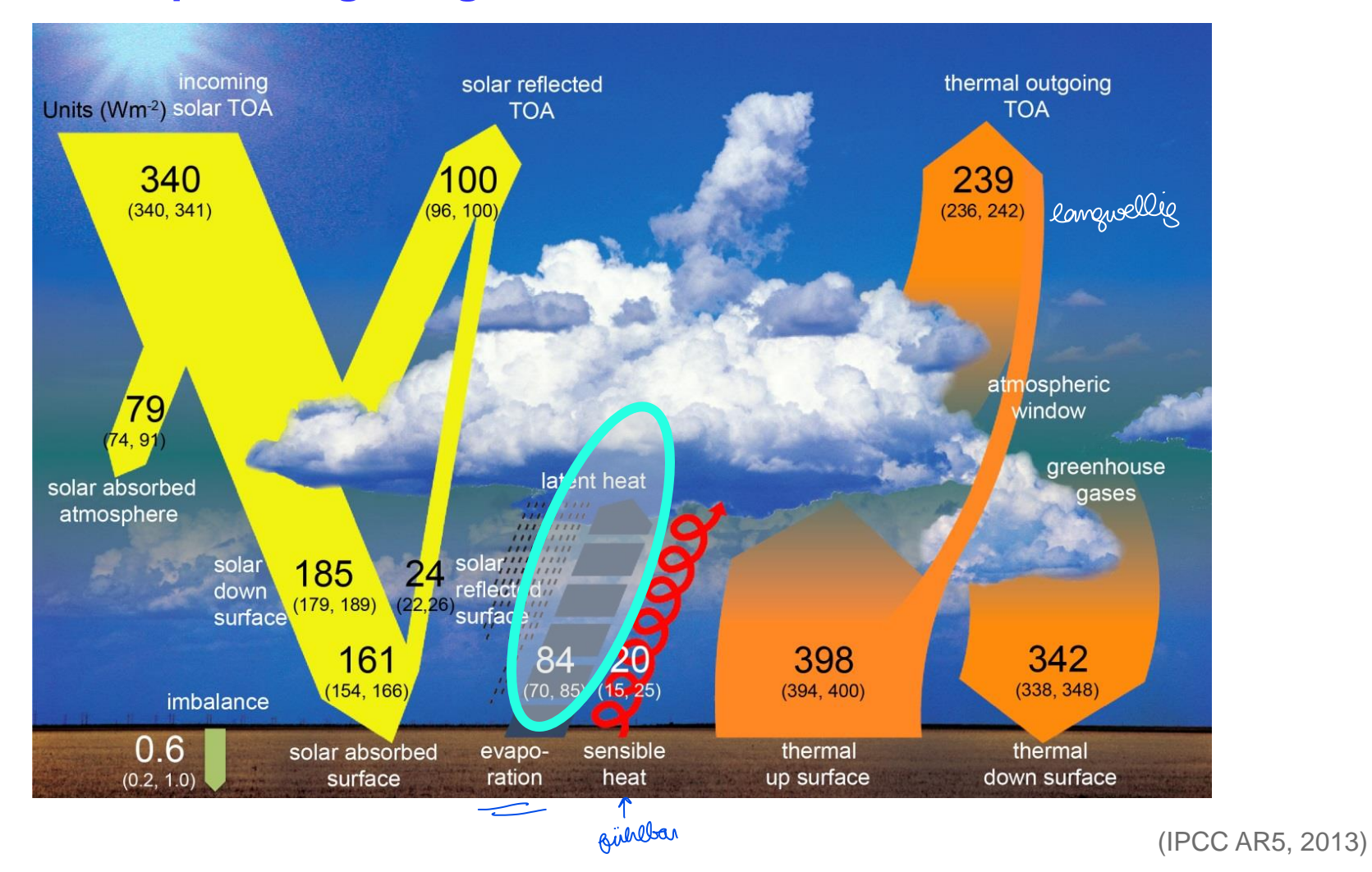


Bedeutung Wasserdampf: Energieträger Temp. ausglisch v.a über wasserdampe (Verdunstung - Kand.) kg Wasserdampf ∨on 100°C 0,63 kWh 2260 kJ 2260 kJ Kondensations-Verdampfungsenergie energie 1 kg Wasser von 100°C 0,11 kWh 419 kJ 1 kg Wasser von 0°C 338KZ 0,09 kWh 1 kg Eis von 0°C





Bedeutung Wasserdampf: Energieträger



Fragen über Fragen...

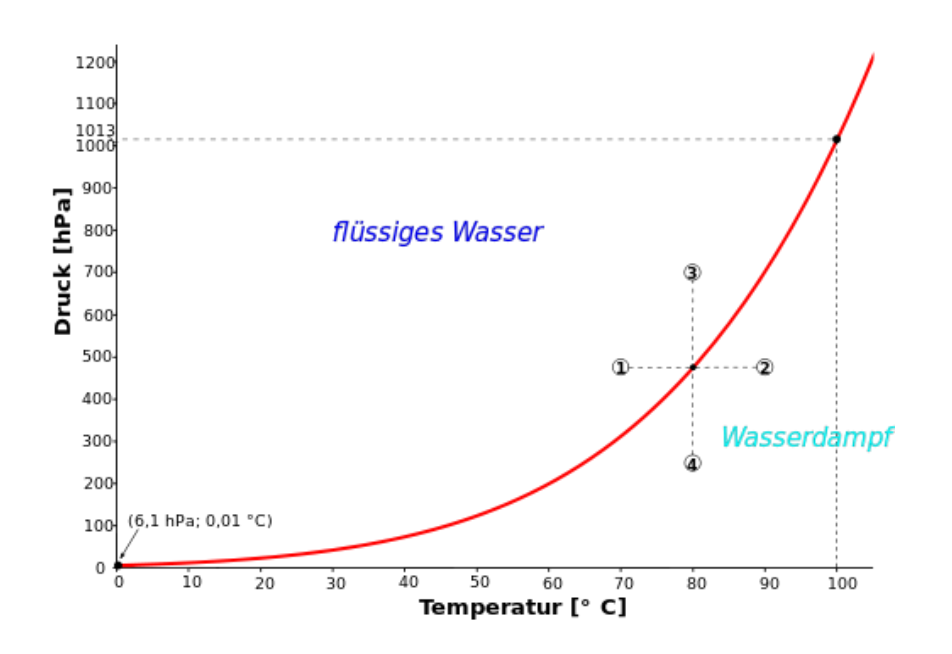
- Wovon hängt die relative Feuchte ab?
- Was ist die Taupunktstemperatur?
- Das Mischungsverhältnis ist definiert als Masse Dampf zu Masse trockener Luft. Ändert sich das Mischungsverhältnis eines Luftpakets, das gehoben wird (ohne Kondensation)?
- Ändert sich die relative Feuchte bei Hebung?
- Gilt die Zustandsgleichung (siehe Herleitung in VL 4) auch für feuchte Luft?

a.) Dampfdruck e, Sättigungsdampfdruck E

- lacktriangle Jedes Gas i übt einen bestimmten Druck aus, den Partialdruck p_i
- Daltonsches Gesetz: Gesamt(luft)druck p ist die Summe der Partialdrucke

$$p = \sum_{i} p_{i}$$

- Partialdruck von Wasserdampf: Dampfdruck e; Einheit hPa
- e hat obere Grenze, die nur von der Temperatur abhängt Sättigungsdampfdruck E(☺) (siehe nächste VL)



b.) Relative Feuchte f

Verhältnis von gemessenem Dampfdruck zu Dampfdruck bei Sättigung (Sättigungsdampfdruck)

$$f = \frac{e}{E(\vartheta)} \cdot 100$$
 in % $\left(= \frac{r}{r_s} \cdot 100 = \frac{q}{q_s} \cdot 100 \right)$

- Grad der Feuchteanreicherung (oder Sättigung) der Luft
- abhängig von der Temperatur; keine Aussage über tatsächlichen Anteil an Wasserdampf in der Luft
- Untersättigung bei f < 100%; Wolken-/Nebelbildung bei f = 100% (f > 100% selten in Atmosphäre)







c.) Absolute Feuchte a

Masse Wasserdampf pro Volumeneinheit (= Wasserdampfdichte)

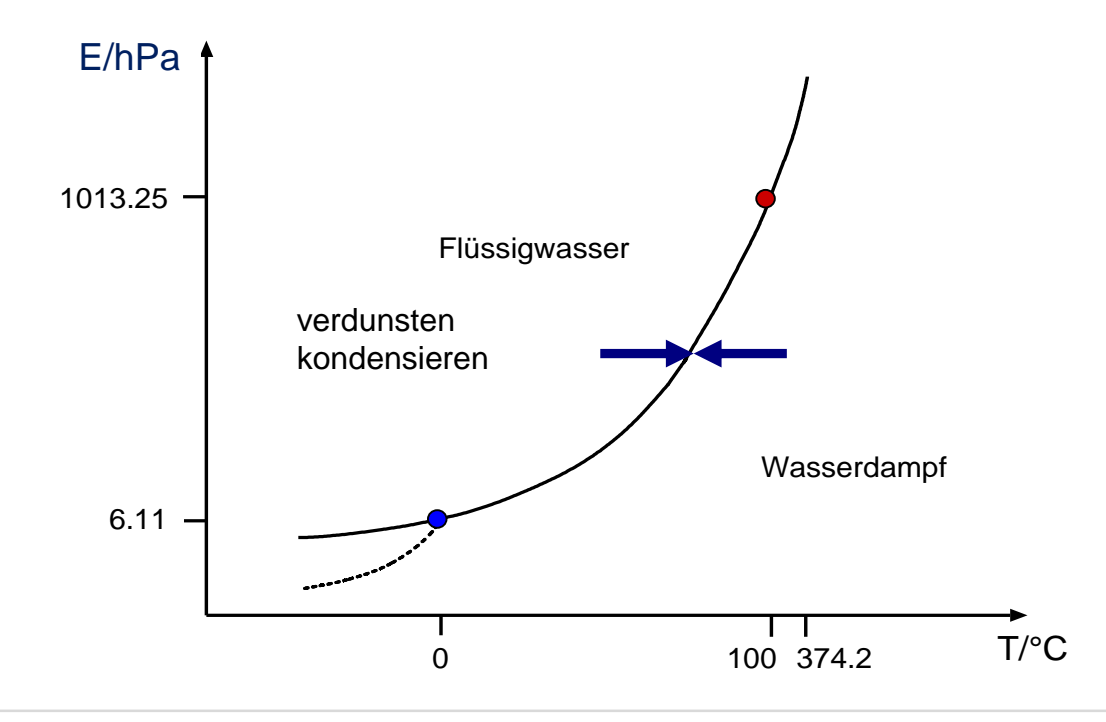
$$a = \rho_d$$
 in kg m⁻³

- gibt direkt den Wasserdampfanteil der Luft wieder
- Einheit wird oft angegeben in g m⁻³ (keine SI-Einheit!)

d.) Taupunkt bzw. Taupunktstemperatur T_d oder τ

- Definiert als Temperatur, ab der es bei isobarer Abkühlung der Luft zu Sättigung (Wolken / Nebelbildung) kommt; keine Advektion von Wasserdampf
- Die Taupunktstemperatur ist ein eindeutiges Maß für den Wasserdampfpartialdruck e (\rightarrow siehe Übung und nächste VL)

$$e(T) = E(T_d)$$



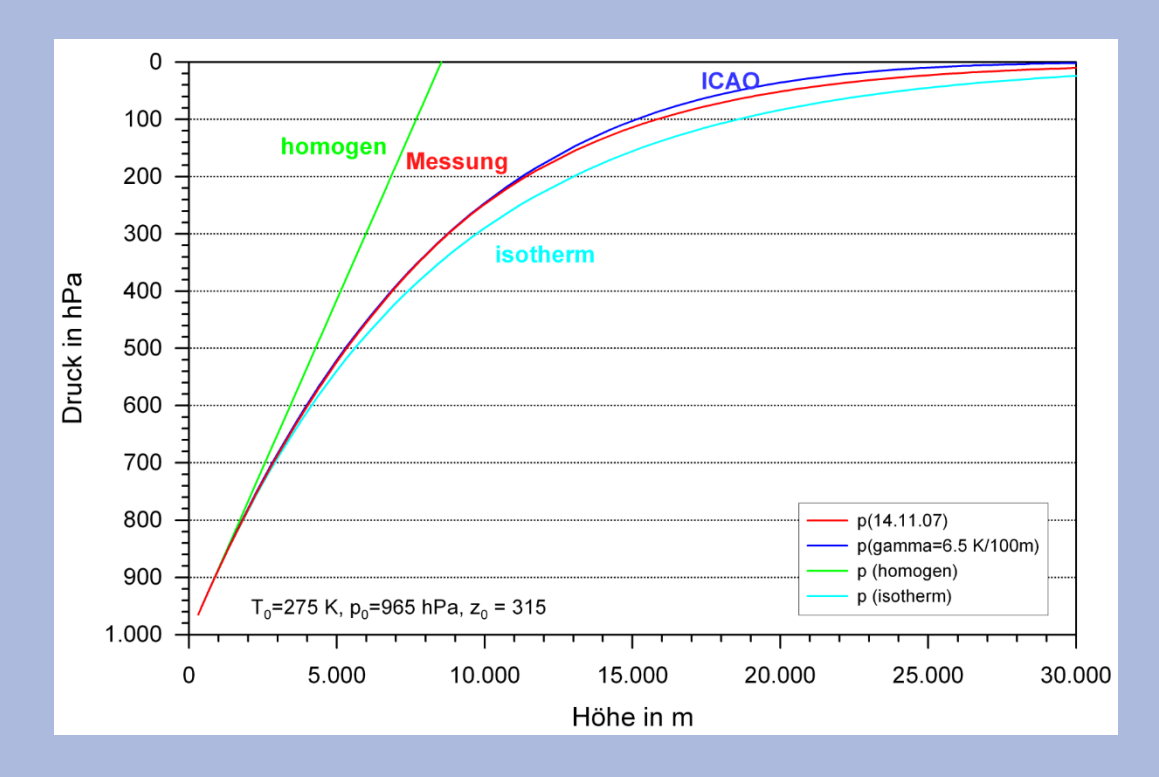
Wir fassen zusammen...

Modellatmosphären

- Homogen (
$$\rho$$
 = const.) $p(z) = p_0 - \rho gz$

- Isotherm (T = const.)
$$p(z) = p_0 \exp\left(-\frac{gz}{\overline{T}R_L}\right)$$

- Polytrop (dT/dz = const.)
$$p(z) = p_0 \left(\frac{T_0 - \gamma z}{T_0}\right)^{\frac{g}{R_L \gamma}}$$



- Feuchtemaße (Verwendung je nach Fragestellung)
 - Wasserdampfpartialdruck e (in hPa): Druck durch den Dampf; hat eine obere Grenze, die von der Temperatur abhängt → Sättigungsdampfdruck E
 - Relative Feuchte f (in %): relatives Maß, abh. von Temperatur
 - Taupunktstemperatur τ (in °C): Temperatur bei 100% rel. Feuchte